

- Сондерс Б. Химия и токсикология органических соединений фосфора и фтора.— М.: Мир.— 1961.— 424 с.
- Гололобов Ю. Г., Оганесян А. С. Холиновые аналоги в ряду винилфосфатов // Изв. АН СССР. Сер. хим.— 1987.— № 10.— С. 2333—2334.
- Комбинированное торможение холинэстеразы из сыворотки крови лошади / А. П. Бресткин, И. Л. Брик, Р. И. Волкова и др. // Докл. АН СССР.— 1971.— 200, № 1.— С. 103—106.
- De Jong L. P. A., Van Dijk C. Inhibition of acetylcholinesterase by the enantiomers of isopropyl S-2-trimethylammonioethyl methylphosphonothioate iodide // Biochim. Biophys. Acta.— 1972.— 268.— Р. 680—689.
- Пространственные и электронные эффекты в ингибиравании ацетилхолинэстеразы β -хлорвинилфосфатами / Ю. Г. Гололобов, Л. Ф. Касухин, Г. В. Песоцкая и др. // Журн. общ. химии.— 1978.— 48, вып. 9.— С. 1974—1979.
- Индуктивные эффекты винилоксильных радикалов / Л. Ф. Касухин, М. П. Пономарчук, Т. В. Колодка и др. // Там же.— 1983.— 53, вып. 5.— С. 1022—1028.

Ин-т биоорган. химии АН УССР, Киев
Ин-т орган. химии АН УССР, Киев

Поступило 16.03.88

УДК 546.815.821.654

В. М. ГОЛУБИЦКИЙ, В. В. ПРИСЕДСКИЙ, Е. И. ГРИНЧЕНКО,
Г. Ф. ПАНЬКО, чл.-кор. АН УССР В. В. КЛИМОВ

СОЕДИНЕНИЯ СО СЛОИСТОЙ ПЕРОВСКИТОПОДОБНОЙ СТРУКТУРОЙ В СИСТЕМЕ $PbTiO_3$ — $La_2Ti_2O_7$

В последнее время значительное внимание привлекают соединения $A_2B_2O_7$ ($A=La-Nd, Ca, Sr$; $B=Ti, Nb, Ta$) со слоистой перовскитоподобной структурой (СПС, структурный тип $Ca_2Nb_2O_7$), обладающие интересными оптическими и сегнетоэлектрическими свойствами [1, 2]. Известны соединения более сложного состава со структурой на основе СПС, образующие гомологические ряды $A_nB_nO_{3n+2}$ [3, 4]. Свинец содержащие соединения этого типа в литературе не описаны, попытка получить их в системе $PbTiO_3$ — $Nd_2Ti_2O_7$ при $1200^{\circ}C$ не увенчалась успехом [4].

Нам удалось синтезировать соединения со слоистой перовскитоподобной структурой состава $Pb_{n-4}La_4Ti_nO_{3n+2}$, где $n=4,5; 5$ и 6 .

Образцы получали керамическим методом из PbO (ч. д. а.), La_2O_3 (марка LaO-ССт, предварительный отжиг $1200^{\circ}C$, 3 ч) и TiO_2 (осч. 7—2). Оксидные компоненты в соотношениях для $n=4,5; 5; 6; 8; 12$ измельчали и смешивали в планетарной мельнице. Сбрикетированную шихту отжигали при $1100^{\circ}C$ 3—4 ч, измельчали в механической ступке, снова брикетировали и синтезировали при 1270 — $1350^{\circ}C$ от 2 до 25 ч. Все термообработки проводили в платиновом тигле, помещенном в алундовый тигель с порошком $PbZrO_3+ZrO_2$ для создания постоянного при заданной температуре давления пара PbO [5]. Для синтеза однофазного препарата $n=6$ было достаточно выдержки 4—5 ч при $1300^{\circ}C$, однофазные составы $n=4,5$ и 5 получены при $1350^{\circ}C$ после выдержки соответственно 7 и 4 ч. После синтеза состава $n=4,5$ при $1300^{\circ}C$ в течение 20 ч РФА обнаруживал «соседние» гомологи $n=5$ и $n=4$ (то есть $La_2Ti_2O_7$). При всех условиях синтеза состав $n=12$ представлял собой однофазный твердый раствор на основе титаната свинца $Pb_{1-x}La_xTiO_{3+x/2}$ ($x=4/n \approx 0,33$), состав $n=8$ — смесь гомолога $n=6$ и предельного раствора $x \approx 0,33$.

Рентгеновские дифрактограммы снимали по методу порошка на отфильтрованном (Ni) излучении $CuK\alpha$ (ДРОН-3,0). Электронограммы отдельных кристаллитов получали на электронном микроскопе ЭМ-200 в режиме микродифракции при ускоряющем напряжении 150 кВ.

Дифрактограммы составов $n=4,5$; 5 и 6 индицируются в ромбической сингонии (параметры элементарных ячеек приведены в таблице) и по характеру аналогичны рентгенограммам соединений СПС в системе $\text{CaTiO}_3-\text{La}_2\text{Ti}_2\text{O}_7$ [3].

Параметры элементарных ячеек (нм) соединений $\text{Pb}_{n-4}\text{La}_4\text{Ti}_n\text{O}_{3n+2}$

n	a	b	c	z	K
4,5	0,3910(3)	5,706(8)	0,5548(4)	4	0,1823
5	0,3913(3)	3,131(5)	0,5547(4)	2	0,1820
6	0,3917(3)	3,689(5)	0,5550(4)	2	0,1827

68.00.01.01.00011

Предположение изоструктурности проверяли сравнением экспериментальных и теоретических рентгенограмм, рассчитанных на основе идеализированной модели СПС [3, 4, 8]: а) при целом n структура гомолога $\text{Pb}_{n-4}\text{La}_4\text{Ti}_n\text{O}_{3n+2}$ представляет собой чередующиеся перовскитовые блоки толщиной в n кислородных октаэдров вдоль $[011]_n$ (п — перовскит) — оси b гомолога; блоки раздвинуты на расстояние K вдоль этой же оси и смешены относительно друг друга на половину кислородного октаэдра вдоль $[100]_n$ — оси a гомолога; б) при дробном n аналогичным образом чередуются блоки с ближайшими целыми n в соответствующем количественном соотношении (для $n=4,5$ — блоки $n=4$ и 5 в соотношении 1 : 1); в) в перовскитовых блоках, где $n \geq 5$, позиции A заселены разнозарядными катионами упорядоченно вдоль $[011]_n$: в центральной части блоков — двухзарядными, на периферии — трехзарядными катионами; г) параметры элементарных ячеек связаны соотношениями (приближенными для реальных структур): $\frac{2b}{Z} = na\sqrt{2} + 2K$ и $c = a\sqrt{2}$, где Z — число формульных единиц, $a = a_n$.

Учитывая данные [1, 3, 4, 8] о расположении атомов для известных СПС, в расчетной модели крайние (в перовскитовых блоках) ионы лантана сместили вдоль $[011]_n$ непосредственно на границы блоков.

При расчете (ЭВМ Искра-1256) относительных интенсивностей отражений [6] фактор атомного рассеяния представляли полиномами девятой степени [7], эффект аномальной дисперсии не учитывали, температурный фактор принимали равным 1. В качестве меры экспериментальных интенсивностей принимали площади пиков дифрактограмм.

При общем соответствии теоретических и экспериментальных дифрактограмм¹ (рис. 1, факторы расходности $R < 0,15$) наблюдаются значительные различия интенсивностей отражений типа $0k0$ (например, при $\theta \approx 14^\circ$). Кристаллам СПС свойственно легкое скальвание по плоскостям, параллельным (010) [1], преобладание таких сколов в порошках мы отмечали при электронно-микроскопических исследованиях. Изменения условий приготовления образцов для дифрактометра приводили к существенным изменениям наблюдаемых интенсивностей только указанных отражений, поэтому к основным причинам различий, помимо неучтенных искажений структуры, можно отнести трудноустранимую текстуру порошков вдоль (010) .

Данные о дифракции электронов на отдельных кристаллитах подтвердили и дополнили информацию рентгенограмм. Наиболее наглядно образование слоистой перовскитоподобной структуры видно на электронограммах с осями зон $\langle h0l \rangle$ (рис. 2, a), на которых ряды рефлексов $(0k0)^*$ указывают на большие периоды b . Рефлексы перовскитовой матрицы наблюдаются в соответствии с ориентационными соотношениями: $[100]=[100]_n$, $[010]=[011]_n$. В частности, для гомолога $n=6$ рефлекс $(011)^*_n$ лежит между рефлексами $(0,12,0)^*$ и $(0,14,0)^*$.

* Съемка рентгенограмм выполнена Киселем Н. Г., а расчеты на ЭВМ — Косоговым А. А.

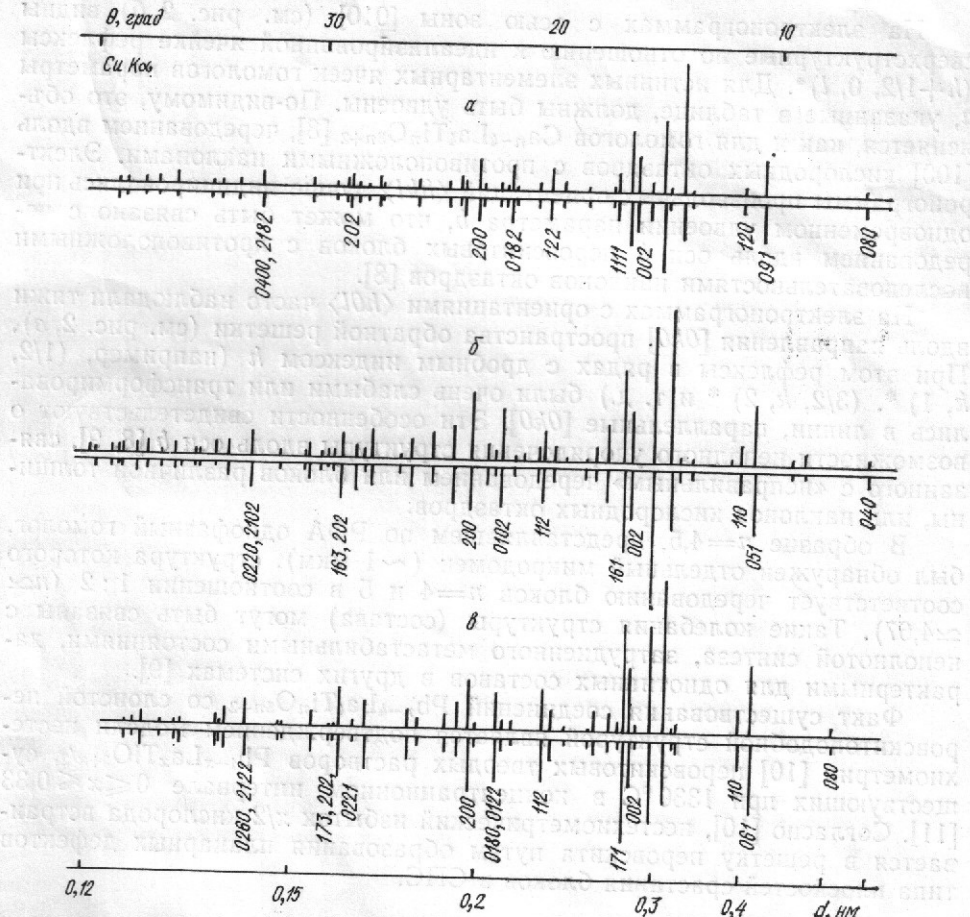


Рис. 1. Экспериментальные (вверху) и теоретические (внизу) рентгеновские штрих-диаграммы соединений $\text{Pb}_{n-4}\text{La}_4\text{Ti}_n\text{O}_{3n+2}$:

a — $n=4,5$; *b* — 5; *c* — 6.

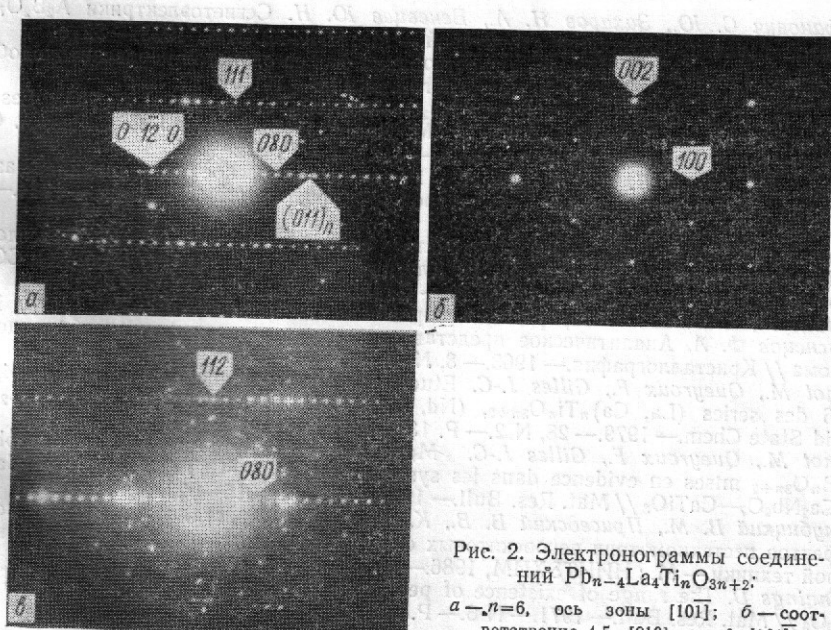


Рис. 2. Электронограммы соединений $\text{Pb}_{n-4}\text{La}_4\text{Ti}_n\text{O}_{3n+2}$:

a — $n=6$, ось зоны $[10\bar{1}]$; *b* — соответственно 4,5; $[010]$; *c* — 6, $[20\bar{1}]$.

На электронограммах с осью зоны [010] (см. рис. 2, б) видны сверхструктурные по отношению к идеализированной ячейке рефлексы $(h+1/2, 0, l)^*$. Для истинных элементарных ячеек гомологов параметры a , указанные в таблице, должны быть удвоены. По-видимому, это объясняется, как и для гомологов $\text{Ca}_{n-4}\text{La}_4\text{Ti}_n\text{O}_{3n+2}$ [8], чередованием вдоль [100] кислородных октаэдров с противоположными наклонами. Электронограммы произвольных ориентаций $\langle hkl \rangle$ лучше индицировались при одновременном удвоении параметра b , что может быть связано с чередованием вдоль оси b первовскитовых блоков с противоположными последовательностями наклонов октаэдров [8].

На электронограммах с ориентациями $\langle h0l \rangle$ часто наблюдали тяжи вдоль направления [0k0] пространства обратной решетки (см. рис. 2, в). При этом рефлексы в рядах с дробным индексом h (например, $(1/2, k, 1)^*$, $(3/2, k, 2)^*$ и т. д.) были очень слабыми или трансформировались в линии, параллельные [0k0]. Эти особенности свидетельствуют о возможности неполного упорядочения структуры вдоль оси b [8, 9], связанного с «неправильным» чередованием или блоков различной толщины, или наклонов кислородных октаэдров.

В образце $n=4,5$, представлявшем по РФА однофазный гомолог, был обнаружен отдельный микродомен (~ 1 мкм), структура которого соответствует чередованию блоков $n=4$ и 5 в соотношении 1 : 2 ($n \simeq 4,67$). Такие колебания структуры (состава) могут быть связаны с неполнотой синтеза, затрудненного метастабильными состояниями, характерными для однотипных составов в других системах [9].

Факт существования соединений $\text{Pb}_{n-4}\text{La}_4\text{Ti}_n\text{O}_{3n+2}$ со слоистой первовскитоподобной структурой является подтверждением модели нестехиометрии [10] первовскитовых твердых растворов $\text{Pb}_{1-x}\text{La}_x\text{TiO}_{3+x/2}$, существующих при 1330°C в концентрационном интервале $0 \leq x \leq 0,33$ [11]. Согласно [10], нестехиометрический избыток $x/2$ кислорода встраивается в решетку первовскита путем образования планарных дефектов типа плоскостей срастания блоков в СПС.

SUMMARY. New compounds with perovskite-like layer structure $\text{Pb}_{n-4}\text{La}_4\text{Ti}_n\text{O}_{3n+2}$ ($n=4,5, 5$ and 6) have been revealed in the $\text{PbTiO}_3\text{-La}_2\text{Ti}_2\text{O}_7$ system. The structure of these compounds has been studied by means of X-ray diffraction and electron microscopy.

1. Стефанович С. Ю., Захаров Н. А., Веневцев Ю. Н. Сегнетоэлектрики $\text{A}_2\text{B}_2\text{O}_7$ со слоистой первовскитоподобной структурой.—М.: НИИТЭХИМ, 1978.—52 с.
2. Сыч А. М., Титов Ю. А. Область существования фаз со слоистой первовскитоподобной структурой состава $\text{A}_2\text{B}_2\text{O}_7$ // Журн. неорган. химии.—1982.—27, № 6.
3. Phases multiples dans les system $\text{Ca}_2\text{Nb}_2\text{O}_7\text{-NaNbO}_3$ et $\text{La}_2\text{Ti}_2\text{O}_7\text{-CaTiO}_3$: Les series homologues de formule $\text{A}_n\text{B}_n\text{O}_{3n+2}$ / M. Nanot, F. Queugoux, J.-C. Gilles, A. Carpy, J. Galy // J. Solid State Chem.—1974.—11, N 4.—P. 272—284.
4. Герман М., Ковба Л. М., Штурм К. Рентгенографическое исследование фаз со слоистой первовскитоподобной структурой // Журн. неорган. химии.—1984.—29, № 9.—С. 2201—2205.
5. Твердые растворы цирконата — титаната — свинца — лантана / В. В. Приседский, В. М. Голубицкий, В. Е. Бут, В. В. Климов, Н. Б. Фельдман // Изв. АН СССР. Неорган. материалы.—1981.—17, № 10.—С. 1857—1862.
6. Липсон Г., Стил Г. Интерпретация порошковых рентгенограмм.—М.: Мир, 1972.
7. Бруснечер Ф. А. Аналитическое представление рентгеновских факторов в виде полинома // Кристаллография.—1963.—8, № 3.—С. 338—345.
8. Nanot M., Queugoux F., Gilles J.-C. Etude cristallographique des termes $n=4,5; 5$ et 6 des series $(\text{La}, \text{Ca})_n\text{Ti}_n\text{O}_{3n+2}$, $(\text{Nd}, \text{Ca})_n\text{Ti}_n\text{O}_{3n+2}$ et $\text{Ca}_n(\text{Ti}, \text{Nb})_n\text{O}_{3n+2}$ // J. Solid State Chem.—1979.—28, N 2.—P. 137—147.
9. Nanot M., Queugoux F., Gilles J.-C. Mode de Formation et stabilité des phases $\text{A}_n\text{B}_n\text{O}_{3n+2}$ mises en évidence dans les systèmes $\text{La}_2\text{Ti}_2\text{O}_7\text{-CaTiO}_3$, $\text{Nd}_2\text{Ti}_2\text{O}_7\text{-CaTiO}_3$ et $\text{Ca}_2\text{Nb}_2\text{O}_7\text{-CaTiO}_3$ // Mat. Res. Bull.—1977.—12.—P. 915—922.
10. Голубицкий В. М., Приседский В. В., Климов В. В. Кристаллохимическая модель дефектов нестехиометрии первовскитовых фаз // Химия и технология материалов для новой техники.—М.: НИИТЭХИМ, 1986.—С. 35—47.
11. Hennings D. The range of existence of perovskite phases in the system $\text{PbO}-\text{TiO}_2-\text{La}_2\text{O}_3$ // Mat. Res. Bull.—1971.—N 6.—P. 329—340.